

การผลิตและการเก็บรักษาฟิล์มบริโภคได้จากในประเทศไทยน้ำจากปลาทรายแดง

นางสาวปรมากรณ์ เกิดทรัพย์

วิทยานิพนธ์เป็นส่วนหนึ่งของการศึกษาตามหลักสูตรปริญญาวิทยาศาสตรมหาบัณฑิต

สาขาวิชาเทคโนโลยีทางอาหาร ภาควิชาเทคโนโลยีทางอาหาร

คณะวิทยาศาสตร์ จุฬาลงกรณ์มหาวิทยาลัย

ปีการศึกษา 2545

ISBN 974-17-1015-1

ลิขสิทธิ์ของจุฬาลงกรณ์มหาวิทยาลัย

PRODUCTION AND STORAGE OF EDIBLE FILM FROM THREADFIN-BREAM'S  
WATER SOLUBLE PROTEINS

Miss Paramaporn Kerdsup

A Thesis Submitted in Partial Fulfillment of the Requirements  
for the Degree of Master of Science in Food Technology

Department of Food Technology

Faculty of Science

Chulalongkorn University

Academic Year 2002

ISBN 974-17-1015-1

หัวข้อวิทยานิพนธ์

การผลิตและการเก็บรักษาฟิล์มบริโภคได้จากโปรดีนละลายน้ำจากปลา  
ทรายแดง

โดย

นางสาวปรมากรณ์ เกิดทรัพย์

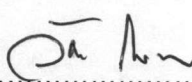
สาขาวิชา

เทคโนโลยีทางอาหาร

อาจารย์ที่ปรึกษา

อาจารย์ ดร.วนัช สงวนดีกุล

คณะวิทยาศาสตร์ จุฬาลงกรณ์มหาวิทยาลัย อนุมัติให้นับวิทยานิพนธ์ฉบับนี้  
เป็นส่วนหนึ่งของการศึกษาตามหลักสูตรปริญญามหาบัณฑิต



คณะบดีคณะวิทยาศาสตร์

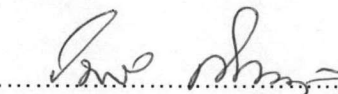
(รองศาสตราจารย์ ดร.วนัช พิพิจิตรา)

คณะกรรมการสอบวิทยานิพนธ์



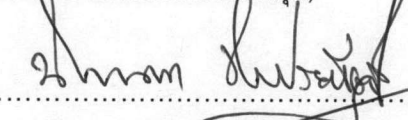
ประธานกรรมการ

(รองศาสตราจารย์ ดร.พันธิพา จันทวัฒน์)



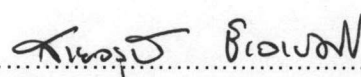
อาจารย์ที่ปรึกษา

(อาจารย์ ดร.วนัช สงวนดีกุล)



กรรมการ

(รองศาสตราจารย์ ดร.นินนาท ชินประษฐ์)



กรรมการ

(ผู้ช่วยศาสตราจารย์ ดร.สายวุฒิ ชัยวนิชศิริ)



กรรมการ

(ผู้ช่วยศาสตราจารย์ ดร.สุเมธ ตันครະເຮີຍ)

ประมวลสาร์ เกิดทรัพย์ : การผลิตและการเก็บรักษาฟิล์มบิโภคได้จากโปรตีนละลายน้ำจากปลาทรายแดง  
(Production and storage of edible film from threadfin-bream's water soluble proteins)  
อ.ที่ปรึกษา : อาจารย์ ดร.วนิช สงวนดีกุล : 152 หน้า ISBN 974-17-1015-1

งานวิจัยนี้มีจุดประสงค์เพื่อผลิตฟิล์มบิโภคได้จากโปรตีนละลายน้ำจากปลาทรายแดง (*Nemipterus hexodon*) เพื่อให้ได้แผ่นฟิล์มที่มีความคงทนแข็งแรง อัตโนมัติป้องกันความชื้น 77.19% โปรตีน 17.77% ไขมัน 4.07% เต้า 1.01% คาร์โบไฮเดรต 0.06% และโปรตีนที่ละลายน้ำ 16.26% ของปริมาณโปรตีนทั้งหมด จากการสกัดโปรตีนที่ละลายน้ำได้จากปลาทรายแดงด้วยน้ำกลันที่เย็น (4 องศาเซลเซียส) บริมาตร 5 เท่าของน้ำหนักเนื้อปลา แล้วทำการ dialysis และระเหิดแห้ง พบร้า โปรตีนที่สกัดได้มีปริมาณโปรตีน เท่ากับ 97.63% โดยน้ำหนักแห้ง ใน การวิจัยศึกษา pH และอุณหภูมิที่ใช้ในการผลิตแผ่นฟิล์มซึ่งจะทำให้แผ่นฟิล์มมีค่าความต้านทานแรงดึงขาดสูงสุด โดยปริมาณ pH เป็น 3 5 7 9 และ 11 และอุณหภูมิที่ใช้คือ 60 70 80 และ 90 องศาเซลเซียส เวลาในการให้ความร้อน 15 นาที ก่อนการขึ้นรูปแผ่นฟิล์มบนแผ่นอะลูมิโน Kon จากผลการทดสอบสมบัติต่างๆ พบร้า แผ่นฟิล์มที่ผลิตโดยใช้ pH เท่ากับ 9 และให้ความร้อนที่ 70 องศาเซลเซียส 15 นาที ให้ค่าความต้านทานแรงดึงขาดสูงสุดคือ 1.84 MPa ค่าร้อยละการยึดตัวถึงจุดขาด 48.72% ค่าการซึมผ่านของไอน้ำ  $1.89 \times 10^{-10}$  g.m/m<sup>2</sup>.s.Pa ค่าการซึมผ่านของก๊าซออกซิเจน  $1.89 \times 10^{-18}$  mol.m<sup>2</sup>.s.Pa ค่า L<sub>a b</sub> 83.07 0.83 และ 3.23 ตามลำดับ และค่าการละลายทั้งหมด 51.41% เมื่อพิจารณาจากภาพถ่ายด้วยกล้องจุลทรรศน์อิเล็กตรอนแบบส่องการดู卜พบว่า แผ่นฟิล์มที่สภาวะดังกล่าวมีพื้นผิวต่อเนื่องและแน่นกvr แผ่นฟิล์มที่สภาวะอื่น และจากการวิเคราะห์โดยใช้ SDS-PAGE electrophoresis แสดงให้เห็นว่ามีการเกิดพันธะได้ชัดเจนในการผลิตแผ่นฟิล์ม จากข้อสรุปดังกล่าวจึงเลือกสภาวะการผลิตนี้ไปใช้ในขั้นตอนต่อไป เพื่อศึกษาชนิดและปริมาณพลาสติไซเรอร์ที่เหมาะสมในการผลิตแผ่นฟิล์ม โดยใช้พลาสติไซเรอร์ 3 ชนิดคือกลีเซอรอล (GLY) ซอร์บิทอล (SOR) และ พอลิเอทิลีนไอกล็อกอล (PEG) และแบ่งปริมาณเป็น 3 ระดับคือ 40 50 และ 60% โดยน้ำหนักของโปรตีนที่ใช้ในการผลิตแผ่นฟิล์ม พบร้าการเพิ่มปริมาณพลาสติไซเรอร์ทำให้แผ่นฟิล์มมีค่าความต้านทานแรงดึงขาดลดลง แต่จะให้ค่าการยึดตัวถึงจุดขาด ค่าการซึมผ่านของไอน้ำ และค่าการละลายทั้งหมดสูงขึ้น และพบว่าการใช้ SOR เป็นพลาสติไซเรอร์จะได้ฟิล์มที่มีค่าความต้านทานแรงดึงขาดสูงสุดคือ 5.11 MPa แต่จะให้ร้อยละค่าการยึดตัวถึงจุดขาด ค่าการซึมผ่านของไอน้ำ และค่าการละลายทั้งหมดต่ำที่สุดคือ 7.52%  $1.13 \times 10^{-10}$  g.m/m<sup>2</sup>.s.Pa และ 26.18% ตามลำดับ และแผ่นฟิล์มที่ผลิตได้จะมีค่าสี (L<sub>a b</sub>) 83.05 0.04 และ 3.87 ตามลำดับ ส่วนการใช้ GLY 60% จะทำให้ฟิล์มที่ผลิตได้มีค่าร้อยละการยึดตัวถึงจุดขาดสูงกว่าการใช้ SOR ทุกรอบด้วยความเข้มข้นมาก ในขณะที่สมบัติต้านน้ำ ใกล้เคียงกับการใช้ SOR จึงเลือกสภาวะการผลิตฟิล์มโดยใช้ SOR 40% และ GLY 60% มาศึกษาผลของอายุการเก็บแผ่นฟิล์มที่อุณหภูมิห้องในถุงพลาสติกชนิด low density polyethylene เป็นเวลา 2 เดือนต่อสมบัติต่างๆ ของฟิล์ม พบร้า เมื่อระยะเวลาการเก็บนานขึ้นจะทำให้แผ่นฟิล์มที่เก็บที่อุณหภูมิห้องหั้ง 2 สภาวะมีค่าความต้านทานแรงดึงขาดและค่าการซึมผ่านของไอน้ำสูงขึ้น แต่จะมีค่าร้อยละการยึดตัวถึงจุดขาดและค่าการละลายทั้งหมดต่ำลง และมีสีเหลืองขึ้นเล็กน้อย

ภาควิชา.....เทคโนโลยีทางอาหาร.....

ลายมือชื่อนักศึกษา..... ปราภรณ์ ใจดีกุล

สาขาวิชา.....เทคโนโลยีทางอาหาร.....

ลายมือชื่ออาจารย์ที่ปรึกษา... วนิช สงวนดีกุล.....

ปีการศึกษา.....2545.....

ลายมือชื่ออาจารย์ที่ปรึกษาร่วม.....

##4272333123 : MAJOR FOOD TECHNOLOGY

KEY WORD : THREADFIN-BREAM / WATER SOLUBLE PROTEIN / EDIBLE FILM

PARAMAPORN KERDSUP : PRODUCTION AND STORAGE OF EDIBLE FILM FROM  
THREADFIN-BREAM'S WATER SOLUBLE PROTEIN. THESIS ADVISOR : ROMANEE  
SANGUANDEEKUL, Ph.D. 152 pp.

ISBN 974-17-1015-1

The objective of this research was to develop high strength edible films from threadfin-bream's water soluble protein. Proximate analysis of threadfin-bream was 77.19% moisture, 17.77% protein, 4.07% fat, 1.01% ash, and 0.06% carbohydrate. The water soluble protein (16.26% basis on total proteins) was extracted from threadfin-bream with cold distilled water ( $4^{\circ}\text{C}$ ) at 5 times of the weight of threadfin-bream's flesh, dialyzed and then lyophilized. The lyophilized sample contained 97.63% protein. Edible film from threadfin-bream was prepared by vary pH (3, 5, 7, 9, and 11) and heating temperature (60, 70, 80 and  $90^{\circ}\text{C}$ ) of the film-forming solution and the solution was casted on silicone plate. The film at pH 9 and heating at  $70^{\circ}\text{C}$  for 15 minutes yielded highest tensile strength(TS) 1.84 MPa. Other properties at this condition were %elongation at break(%E) 48.72%, water vapor permeability(WVP)  $1.89 \times 10^{-10} \text{ g.m/m}^2\text{s.Pa}$ , total solubility 54.41%, oxygen permeability  $1.89 \times 10^{-18} \text{ mol.m/m}^2\text{s.Pa}$  and L, a, b of 82.92, 0.67, and 4.42 respectively. The scanning electron micrograph of this film showed that the film had a continual structure and more dense than the film produced at other conditions. The analysis by SDS-PAGE electrophoresis with 2-mercaptoethanol indicated that there were disulfide bonds formation in the film- forming solution. Three types of plasticizers i.e. glycerol(GLY), sorbitol(SOR) and polyethylene glycol(PEG) under 3 levels at 40, 50, and 60% of the weight of proteins were used for edible film production. The results showed that TS of the film decreased while the %E, WVP, and total solubility increased when the amount of plasticizers increased. Using SOR as plasticizer yielded the edible film with higher TS than using GLY and PEG. Film with 40% SOR yielded the highest TS of 5.11 MPa with the lowest %E, WVP and total solubility of 7.52%,  $1.13 \times 10^{-10} \text{ g.m/m}^2\text{s.Pa}$ , and 26.18%, respectively. This edible film yielded L, a, b at the value of 83.05, 0.04, and 3.87, respectively. The percentage of %E of the film with GLY 60% was higher than with SOR while other properties were not much different. The film at pH 9 and heating at  $70^{\circ}\text{C}$  for 15 minutes using SOR 40% and GLY 60% as plasticizers were used in the study of storage test of the film at room temperature in low density polyethylene bag for 2 months. The results revealed that TS and WVP increased while %E and total solubility decreased with storage time and the color of the film became slightly yellow.

Department.....Food Technology.....

Student's signature.....*Paramaporn*.....

Field of study.....Food Technology.....

Advisor's signature.....*Romanee Sanguandeekul*.....

Academic year.....2002.....

Co- advisor's signature.....

## กิตติกรรมประกาศ

วิทยานิพนธ์ฉบับนี้สำเร็จลุล่วงได้ด้วยความช่วยเหลืออย่างดียิ่งของ อาจารย์ ดร. รอมนี สงวนดีกุล อาจารย์ที่ปรึกษาวิทยานิพนธ์ ที่ได้ให้คำแนะนำและข้อคิดเห็นต่างๆ ในภารกิจ และช่วยแก้ไขวิทยานิพนธ์ฉบับนี้ให้สมบูรณ์ยิ่งขึ้น

ขอกราบขอบพระคุณบัณฑิตวิทยาลัย ชุดโครงการวิจัยเพื่อการพัฒนาอุดสาหกรรม เกษตร-อุดสาหกรรมอาหาร คณะวิทยาศาสตร์ จุฬาลงกรณ์มหาวิทยาลัย และ Tokyo University of Fisheries ที่ได้มอบทุนอุดหนุนภารกิจ

ขอกราบขอบพระคุณ รองศาสตราจารย์ ดร. พันธิพา จันทร์วัฒน์ ประธานกรรมการ รองศาสตราจารย์ ดร. นินนาท ชินประทับษู่ ผู้ช่วยศาสตราจารย์ ดร. สายวราฟ ชัยวนิชศิริ และผู้ช่วยศาสตราจารย์ ดร. สุมธรรม ตันตะระเรียร ที่กรุณาให้คำแนะนำและตรวจแก้ไขวิทยานิพนธ์ให้สมบูรณ์ยิ่งขึ้น รวมทั้งขอกราบขอบพระคุณ Professor Munehiko Tanaka (Tokyo University of Fisheries) ที่ได้ให้ความช่วยเหลือและคำแนะนำในการทำวิจัยมาโดยตลอด

ขอขอบคุณ พี่ๆ น้องๆ และเพื่อนๆ นิสิตภาควิชาเทคโนโลยีทางอาหาร จุฬาลงกรณ์มหาวิทยาลัยทุกท่าน ที่ให้คำแนะนำและข้อเสนอแนะต่างๆ ด้วยความเต็มใจยิ่งตลอดภารกิจ

ท้ายที่สุดขอกราบขอบพระคุณ มารดา-บิดา ที่ให้การสนับสนุนด้านการเงินและกำลังใจ แก่ผู้วิจัยเสมอมาจนสำเร็จภารกิจ

## สารบัญ

หน้า

บทคัดย่อภาษาไทย.....	๑
บทคัดย่อภาษาอังกฤษ.....	๒
กิตติกรรมประกาศ.....	๓
สารบัญ.....	๔
สารบัญตาราง.....	๕
สารบัญรูป.....	๖
บทที่	
1      บทนำ.....	1
2      วารสารบริหัศน์.....	2
3      การทดลอง.....	27
4      ผลการทดลอง.....	35
5      วิจารณ์ผลการทดลอง.....	81
6      สรุปผลการทดลองและข้อเสนอแนะ.....	100
รายการอ้างอิง.....	102
ภาคผนวก	
ภาคผนวก ก. ....	108
ภาคผนวก ข. ....	114
ภาคผนวก ค. ....	120
ภาคผนวก ง. ....	134
ภาคผนวก จ. ....	149
ประวัติผู้เขียนวิทยานิพนธ์.....	152

## สารบัญตาราง

ตารางที่	หน้า
1 องค์ประกอบโดยประมาณของเนื้อปลา.....	5
2 ปริมาณ sarcoplasmic protein ในสัตว์บางชนิด.....	6
3 องค์ประกอบของ sarcoplasmic protein ที่สำคัญในปลาบางชนิด.....	7
4 แรงระหว่างโมเลกุลของโปรตีนและโพลิแซคคาไรด์ที่ทำให้เกิดโครงสร้างตาข่าย ที่เสถียรในการเกิดเจล.....	17
5 องค์ประกอบทางเคมีของเนื้อปลาทรายแดง ( <i>Nemipterus hexodon</i> ).....	35
6 %yield ของการสกัดโปรตีนละลายน้ำจากปลาทรายแดงเทียบกับส่วนต่างๆ ของปลา ทรายแดง.....	36
7 การวิเคราะห์ปริมาณโปรตีนที่ใช้เพื่อผลิตสารละลายโปรตีน 3% โดยวิเคราะห์ด้วยวิธี Biuret assay.....	36
8 ค่าสีในระบบ La b ของแผ่นฟิล์มที่ pH และอุณหภูมิในการผลิตต่างๆ.....	42
9 ค่าการซึมผ่านของแก๊สออกซิเจนของแผ่นฟิล์มบริโภคได้จากโปรตีนละลายน้ำจาก ปลาทรายแดง.....	43
10 ค่าสีในระบบ La b ของฟิล์มที่ใช้กลีเซอรอลปริมาณต่างๆ กันเป็นพลาสติไซเซอร์....	66
11 ค่าสีในระบบ La b ของฟิล์มที่ใช้ชอร์บิทอลปริมาณต่างๆ กันเป็นพลาสติไซเซอร์....	66
12 ค่าสีในระบบ La b ของฟิล์มที่ใช้โพลิเอทธิลีน ไกลคอลปริมาณต่างๆ กัน เป็นพลาสติไซเซอร์.....	66
13 ค่าสีในระบบ La b ของฟิล์มที่ผลิตโดยใช้ชอร์บิทอล 40% โดยน้ำหนักของโปรตีน เป็นพลาสติไซเซอร์ที่เวลาการเก็บรักษาต่างๆ.....	80
14 ค่าสีในระบบ La b ของฟิล์มที่ผลิตโดยใช้กลีเซอรอล 60% โดยน้ำหนักของโปรตีน เป็นพลาสติไซเซอร์ที่เวลาการเก็บรักษาต่างๆ.....	80
15 สมบัติต่างๆ ของแผ่นฟิล์มที่ผลิตโดยใช้ pH ของสารละลายและอุณหภูมิในการให้ ความร้อนต่างๆ กัน.....	109
16 สมบัติต่างๆ ของแผ่นฟิล์มที่ผลิตโดยใช้กลีเซอรอลปริมาณต่างๆ เป็น พลาสติไซเซอร์.....	110
17 สมบัติต่างๆ ของแผ่นฟิล์มที่ผลิตโดยใช้ชอร์บิทอลปริมาณต่างๆ เป็น พลาสติไซเซอร์.....	110

## สารบัญตาราง (ต่อ)

ตารางที่	หน้า
18 สมบัติต่างๆ ของแผ่นฟิล์มที่ผลิตโดยใช้โพลิเอทธิลีน ไกลคอล ปริมาณต่างๆ เป็นพลาสติกไซเซอร์.....	111
19 สมบัติต่างๆ ของแผ่นฟิล์มที่ผลิตโดยใช้กลีเซอรอล 60% โดยน้ำหนักของ โปรตีนที่ใช้ ที่ระยะเวลาการเก็บรักษาต่างๆ กัน.....	112
20 สมบัติต่างๆ ของแผ่นฟิล์มที่ผลิตโดยใช้ขอรบิทอล 40% โดยน้ำหนักของ โปรตีนที่ใช้ ที่ระยะเวลาการเก็บรักษาต่างๆ กัน.....	113
21 Experimental set up for the Biuret assay.....	118
22 การเตรียมสารเคมีสำหรับทำ SDS-PAGE electrophoresis.....	126
23 การเตรียม Resoving gel solution เมื่อต้องการแผ่นเจลหนา 1 มิลลิเมตร จำนวน 2 แผ่น.....	129
24 ความเข้มข้นของเจลที่เหมาะสมกับการแยกโปรตีนชนิดต่างๆ.....	129
25 การเตรียม Stacking gel solution สำหรับเจลหนา 1 มิลลิเมตร จำนวน 2 แผ่น.....	130
26 การเตรียม Fixing solution ปริมาณ 1 ลิตร.....	130
27 การเตรียม Staining solution ปริมาณ 1 ลิตร.....	130
28 การเตรียม Destain solution ปริมาณ 1 ลิตร.....	131
29 การวิเคราะห์ค่าความแปรปรวนทางสถิติของค่าการต้านทานแรงดึงขาด ของฟิล์มบริโภคได้จากโปรตีนละลายน้ำจากปลาทรายแดง ที่ pH และอุณหภูมิ ในการผลิตต่างๆ.....	134
30 การวิเคราะห์ค่าความแปรปรวนทางสถิติของค่าร้อยละการยึดตัวถึงจุดขาด ของฟิล์มบริโภคได้จากโปรตีนละลายน้ำจากปลาทรายแดง ที่ pH และอุณหภูมิ การผลิตต่างๆ.....	134
31 การวิเคราะห์ค่าความแปรปรวนทางสถิติของค่าการซึมผ่านของไอน้ำของฟิล์ม บริโภคได้จากโปรตีนละลายน้ำจากปลาทรายแดง ที่ pH และอุณหภูมิ การผลิตต่างๆ.....	135
32 การวิเคราะห์ค่าความแปรปรวนทางสถิติของค่าการละลายทั้งหมดของฟิล์ม บริโภคได้จากโปรตีนละลายน้ำจากปลาทรายแดง ที่ pH และอุณหภูมิ การผลิตต่างๆ.....	135

## สารบัญตาราง (ต่อ)

ตารางที่	หน้า
33 การวิเคราะห์ค่าความแปรปรวนทางสถิติของค่า L ของฟิล์มบริ尼คได้จากโปรตีน ละลายน้ำจากปลาทรายแดง ที่ pH และอุณหภูมิในการผลิตต่างๆ.....	136
34 การวิเคราะห์ค่าความแปรปรวนทางสถิติของค่า a ของฟิล์มบรินิกได้จากโปรตีน ละลายน้ำจากปลาทรายแดง ที่ pH และอุณหภูมิในการผลิตต่างๆ.....	136
35 การวิเคราะห์ค่าความแปรปรวนทางสถิติของค่า b ของฟิล์มบรินิกได้จากโปรตีน ละลายน้ำจากปลาทรายแดง ที่ pH และอุณหภูมิในการผลิตต่างๆ.....	136
36 การวิเคราะห์ค่าความแปรปรวนทางสถิติของค่าการต้านทานแรงดึงขาด ของฟิล์มบรินิกได้จากโปรตีนละลายน้ำจากปลาทรายแดง ที่ใช้กลีเซอรอล เป็นพลาสติไซเซอร์.....	137
37 การวิเคราะห์ค่าความแปรปรวนทางสถิติของค่าร้อยละการยึดตัวถึงจุดขาด ของฟิล์มบรินิกได้จากโปรตีนละลายน้ำจากปลาทรายแดง ที่ใช้กลีเซอรอล เป็นพลาสติไซเซอร์.....	137
38 การวิเคราะห์ค่าความแปรปรวนทางสถิติของค่าการซึมผ่านของไอน้ำของฟิล์ม บรินิกได้จากโปรตีนละลายน้ำจากปลาทรายแดง ที่ใช้กลีเซอรอลเป็น พลาสติไซเซอร์.....	137
39 การวิเคราะห์ค่าความแปรปรวนทางสถิติของค่าการละลายทั้งหมดของฟิล์ม บรินิกได้จากโปรตีนละลายน้ำจากปลาทรายแดง ที่ใช้กลีเซอรอลเป็น พลาสติไซเซอร์.....	138
40 การวิเคราะห์ค่าความแปรปรวนทางสถิติของค่า L ของฟิล์มบรินิกได้ จากโปรตีนละลายน้ำจากปลาทรายแดง ที่ใช้กลีเซอรอลเป็นพลาสติไซเซอร์....	138
41 การวิเคราะห์ค่าความแปรปรวนทางสถิติของค่า a ของฟิล์มบรินิกได้ จากโปรตีนละลายน้ำจากปลาทรายแดง ที่ใช้กลีเซอรอลเป็นพลาสติไซเซอร์....	138
42 การวิเคราะห์ค่าความแปรปรวนทางสถิติของค่า b ของฟิล์มบรินิกได้จาก โปรตีนละลายน้ำจากปลาทรายแดง ที่ใช้กลีเซอรอลเป็นพลาสติไซเซอร์.....	139
43 การวิเคราะห์ค่าความแปรปรวนทางสถิติของค่าการต้านทานแรงดึงขาด ของฟิล์มบรินิกได้จากโปรตีนละลายน้ำจากปลาทรายแดง ที่ใช้ชอร์บิทอล เป็นพลาสติไซเซอร์.....	139

## สารบัญตาราง (ต่อ)

ตารางที่	หน้า
44 การวิเคราะห์ค่าความแปรปรวนทางสถิติของค่าร้อยละการยึดตัวถึงจุดขาดของฟิล์มบริโภคได้จากโปรดีนละลายน้ำจากปลาทรายแดง ที่ใช้ขอร์บิทอลเป็นพลาสติไซเซอร์.....	139
45 การวิเคราะห์ค่าความแปรปรวนทางสถิติของค่าการซึมผ่านของไอน้ำของฟิล์มบริโภคได้จากโปรดีนละลายน้ำจากปลาทรายแดง ที่ใช้ขอร์บิทอลเป็นพลาสติไซเซอร์.....	140
46 การวิเคราะห์ค่าความแปรปรวนทางสถิติของค่าการละลายทั้งหมดของฟิล์มบริโภคได้จากโปรดีนละลายน้ำจากปลาทรายแดง ที่ใช้ขอร์บิทอลเป็นพลาสติไซเซอร์.....	140
47 การวิเคราะห์ค่าความแปรปรวนทางสถิติของค่า L ของฟิล์มบริโภคได้จากโปรดีนละลายน้ำจากปลาทรายแดง ที่ใช้ขอร์บิทอลเป็นพลาสติไซเซอร์.....	140
48 การวิเคราะห์ค่าความแปรปรวนทางสถิติของค่า a ของฟิล์มบริโภคได้จากโปรดีนละลายน้ำจากปลาทรายแดง ที่ใช้ขอร์บิทอลเป็นพลาสติไซเซอร์.....	141
49 การวิเคราะห์ค่าความแปรปรวนทางสถิติของค่า b ของฟิล์มบริโภคได้จากโปรดีนละลายน้ำจากปลาทรายแดง ที่ใช้ขอร์บิทอลเป็นพลาสติไซเซอร์.....	141
50 การวิเคราะห์ค่าความแปรปรวนทางสถิติของค่าการด้านท่านแรงดึงขาดของฟิล์มบริโภคได้จากโปรดีนละลายน้ำจากปลาทรายแดง ที่ใช้โพลีเอทธิลีน ไกลคอลเป็นพลาสติไซเซอร์.....	141
51 การวิเคราะห์ค่าความแปรปรวนทางสถิติของค่าร้อยละการยึดตัวถึงจุดขาดของฟิล์มบริโภคได้จากโปรดีนละลายน้ำจากปลาทรายแดงที่ใช้โพลีเอทธิลีน ไกลคอลเป็นพลาสติไซเซอร์.....	142
52 การวิเคราะห์ค่าความแปรปรวนทางสถิติของค่าการซึมผ่านของไอน้ำของฟิล์มบริโภคได้จากโปรดีนละลายน้ำจากปลาทรายแดงที่ใช้โพลีเอทธิลีน ไกลคอลเป็นพลาสติไซเซอร์.....	142
53 การวิเคราะห์ค่าความแปรปรวนทางสถิติของค่าการละลายทั้งหมดของฟิล์มบริโภคได้จากโปรดีนละลายน้ำจากปลาทรายแดงที่ใช้โพลีเอทธิลีน ไกลคอลเป็นพลาสติไซเซอร์.....	142

## สารบัญตาราง (ต่อ)

ตารางที่	หน้า
54 การวิเคราะห์ค่าความแปรปรวนทางสถิติของค่า L ของฟิล์มบริโภคได้จากโปรดีน ละลายน้ำจากปลาทรายแดงที่ใช้โพลิเอทธิลีน ไกลคอมเป็นพลาสติไซเซอร์.....	143
55 การวิเคราะห์ค่าความแปรปรวนทางสถิติของค่า a ของฟิล์มบริโภคได้จากโปรดีน ละลายน้ำจากปลาทรายแดงที่ใช้โพลิเอทธิลีน ไกลคอมเป็นพลาสติไซเซอร์.....	143
56 การวิเคราะห์ค่าความแปรปรวนทางสถิติของค่า b ของฟิล์มบริโภคได้จากโปรดีน ละลายน้ำจากปลาทรายแดงที่ใช้โพลิเอทธิลีน ไกลคอมเป็นพลาสติไซเซอร์.....	143
57 การวิเคราะห์ค่าความแปรปรวนทางสถิติของค่าการด้านท่านแรงดึงขาดของฟิล์ม บริโภคได้จากโปรดีนละลายน้ำจากปลาทรายแดงที่ใช้ชอร์บิทอล 40% เป็น <sup>พลาสติไซเซอร์ ที่ระยะเวลาการเก็บต่างๆ.....</sup>	144
58 การวิเคราะห์ค่าความแปรปรวนทางสถิติของค่าร้อยละการยึดตัวถึงจุดขาดของ ฟิล์มบริโภคได้จากโปรดีนละลายน้ำจากปลาทรายแดงที่ใช้ชอร์บิทอล 40% เป็นพลาสติไซเซอร์ ที่ระยะเวลาการเก็บต่างๆ.....	144
59 การวิเคราะห์ค่าความแปรปรวนทางสถิติของค่าการซึมผ่านของไอน้ำของฟิล์ม บริโภคได้จากโปรดีนละลายน้ำจากปลาทรายแดงที่ใช้ชอร์บิทอล 40% เป็น <sup>พลาสติไซเซอร์ ที่ระยะเวลาการเก็บต่างๆ.....</sup>	144
60 การวิเคราะห์ค่าความแปรปรวนทางสถิติของค่าการละลายทั้งหมดของฟิล์ม บริโภคได้จากโปรดีนละลายน้ำจากปลาทรายแดงที่ใช้ชอร์บิทอล 40% เป็น <sup>พลาสติไซเซอร์ ที่ระยะเวลาการเก็บต่างๆ.....</sup>	145
61 การวิเคราะห์ค่าความแปรปรวนทางสถิติของค่า L ของฟิล์มบริโภคได้จาก โปรดีนละลายน้ำจากปลาทรายแดงที่ใช้ชอร์บิทอล 40% เป็นพลาสติไซเซอร์ ที่ระยะเวลาการเก็บต่างๆ.....	145
62 การวิเคราะห์ค่าความแปรปรวนทางสถิติของค่า a ของฟิล์มบริโภคได้จาก โปรดีนละลายน้ำจากปลาทรายแดงที่ใช้ชอร์บิทอล 40% เป็นพลาสติไซเซอร์ ที่ระยะเวลาการเก็บต่างๆ.....	145
63 การวิเคราะห์ค่าความแปรปรวนทางสถิติของค่า b ของฟิล์มบริโภคได้จาก โปรดีนละลายน้ำจากปลาทรายแดงที่ใช้ชอร์บิทอล 40% เป็นพลาสติไซเซอร์ ที่ระยะเวลาการเก็บต่างๆ.....	146

## สารบัญตาราง (ต่อ)

ตารางที่	หน้า
64 การวิเคราะห์ค่าความแปรปรวนทางสถิติของค่าการต้านทานแรงดึงขาดของฟิล์มบริโภคได้จากโปรดีนละลายน้ำจากปลาทรายแดงที่ใช้กลีเซอโรล 60% เป็นพลาสติไซเซอร์ ที่ระยะเวลาการเก็บต่างๆ.....	146
65 การวิเคราะห์ค่าความแปรปรวนทางสถิติของค่าร้อยละการยึดตัวถึงจุดขาดของฟิล์มบริโภคได้จากโปรดีนละลายน้ำจากปลาทรายแดง ที่ใช้กลีเซอโรล 60% เป็นพลาสติไซเซอร์ ที่ระยะเวลาการเก็บต่างๆ.....	146
66 การวิเคราะห์ค่าความแปรปรวนทางสถิติของค่าการซึมผ่านของไอน้ำของฟิล์มบริโภคได้จากโปรดีนละลายน้ำจากปลาทรายแดง ที่ใช้กลีเซอโรล 60% เป็นพลาสติไซเซอร์ ที่ระยะเวลาการเก็บต่างๆ.....	147
67 การวิเคราะห์ค่าความแปรปรวนทางสถิติของค่าการละลายทั้งหมดของฟิล์มบริโภคได้จากโปรดีนละลายน้ำจากปลาทรายแดง ที่ใช้กลีเซอโรล 60% เป็นพลาสติไซเซอร์ ที่ระยะเวลาการเก็บต่างๆ.....	147
68 การวิเคราะห์ค่าความแปรปรวนทางสถิติของค่า L ของฟิล์มบริโภคได้จากโปรดีนละลายน้ำจากปลาทรายแดง ที่ใช้กลีเซอโรล 60% เป็นพลาสติไซเซอร์ ที่ระยะเวลาการเก็บต่างๆ.....	147
69 การวิเคราะห์ค่าความแปรปรวนทางสถิติของค่า a ของฟิล์มบริโภคได้จากโปรดีนละลายน้ำจากปลาทรายแดง ที่ใช้กลีเซอโรล 60% เป็นพลาสติไซเซอร์ ที่ระยะเวลาการเก็บต่างๆ.....	148
70 การวิเคราะห์ค่าความแปรปรวนทางสถิติของค่า b ของฟิล์มบริโภคได้จากโปรดีนละลายน้ำจากปลาทรายแดงที่ใช้กลีเซอโรล 60% เป็นพลาสติไซเซอร์ ที่ระยะเวลาการเก็บต่างๆ.....	148

# สารบัญ

อับที่	หน้า
1	กระบวนการผลิตฟิล์มบริโภคได้จากโปรตีนโดยทั่วไป.....11
2	ลักษณะการเกิดเจลของโปรตีน 2 แบบ.....16
3	โครงสร้างไมเลกุลของกลีเซรออล.....25
4	โครงสร้างไมเลกุลของซอร์บิทอล.....26
5	โครงสร้างไมเลกุลของโพลิเอทิลีน ไกลคอล.....25
6	ค่าการด้านทานแรงดึงขาดของแผ่นฟิล์มที่ pH และอุณหภูมิต่างๆ ใน การผลิต.....38
7	ค่าร้อยละการยึดตัวถึงจุดขาดของแผ่นฟิล์มที่ pH และอุณหภูมิต่างๆ ใน การผลิต.....39
8	ค่าการซึมผ่านของไอน้ำของแผ่นฟิล์มที่ pH และอุณหภูมิต่างๆ ใน การผลิต.....40
9	ค่าการละลายทั้งหมดของแผ่นฟิล์มที่ pH และอุณหภูมิต่างๆ ใน การผลิต.....41
10	ภาพถ่ายพื้นผิวของฟิล์มที่ pH 3 ให้ความร้อนที่อุณหภูมิ 60 องศาเซลเซียส โดยใช้ กล้องจุลทรรศน์อิเล็กทรอนแบบส่องกราด (กำลังขยาย 2000 เท่า).....44
11	ภาพตัดขวางของฟิล์มที่ pH 3 ให้ความร้อนที่อุณหภูมิ 60 องศาเซลเซียส โดยใช้ กล้องจุลทรรศน์อิเล็กทรอนแบบส่องกราด (กำลังขยาย 3500 เท่า).....44
12	ภาพถ่ายพื้นผิวของฟิล์มที่ pH 3 ให้ความร้อนที่อุณหภูมิ 70 องศาเซลเซียส โดยใช้ กล้องจุลทรรศน์อิเล็กทรอนแบบส่องกราด (กำลังขยาย 2000 เท่า).....45
13	ภาพตัดขวางของฟิล์มที่ pH 3 ให้ความร้อนที่อุณหภูมิ 70 องศาเซลเซียส โดยใช้ กล้องจุลทรรศน์อิเล็กทรอนแบบส่องกราด (กำลังขยาย 3500 เท่า).....45
14	ภาพถ่ายพื้นผิวของฟิล์มที่ pH 3 ให้ความร้อนที่อุณหภูมิ 80 องศาเซลเซียส โดยใช้ กล้องจุลทรรศน์อิเล็กทรอนแบบส่องกราด (กำลังขยาย 2000 เท่า).....46
15	ภาพตัดขวางของฟิล์มที่ pH 3 ให้ความร้อนที่อุณหภูมิ 80 องศาเซลเซียส โดยใช้ กล้องจุลทรรศน์อิเล็กทรอนแบบส่องกราด (กำลังขยาย 3500 เท่า).....46
16	ภาพถ่ายพื้นผิวของฟิล์มที่ pH 11 ให้ความร้อนที่อุณหภูมิ 60 องศาเซลเซียส โดยใช้ กล้องจุลทรรศน์อิเล็กทรอนแบบส่องกราด (กำลังขยาย 3500 เท่า).....47
17	ภาพตัดขวางของฟิล์มที่ pH 11 ให้ความร้อนที่อุณหภูมิ 60 องศาเซลเซียส โดยใช้ กล้องจุลทรรศน์อิเล็กทรอนแบบส่องกราด (กำลังขยาย 3500 เท่า).....47
18	ภาพถ่ายพื้นผิวของฟิล์มที่ pH 11 ให้ความร้อนที่อุณหภูมิ 70 องศาเซลเซียส โดยใช้ กล้องจุลทรรศน์อิเล็กทรอนแบบส่องกราด (กำลังขยาย 3500 เท่า).....48

## สารบัญรูป (ต่อ)

รูปที่	หน้า
19 ภาพตัดขวางของฟิล์มที่ pH 11 ให้ความร้อนที่อุณหภูมิ 70 องศาเซลเซียส โดยใช้ กล้องจุลทรรศน์อิเล็กทรอนแบบส่องกราด (กำลังขยาย 3500 เท่า).....	48
20 ภาพถ่ายพื้นผิวของฟิล์มที่ pH 11 ให้ความร้อนที่อุณหภูมิ 80 องศาเซลเซียส โดยใช้ กล้องจุลทรรศน์อิเล็กทรอนแบบส่องกราด (กำลังขยาย 2000 เท่า).....	49
21 ภาพตัดขวางของฟิล์มที่ pH 11 ให้ความร้อนที่อุณหภูมิ 80 องศาเซลเซียส โดยใช้ กล้องจุลทรรศน์อิเล็กทรอนแบบส่องกราด (กำลังขยาย 3500 เท่า).....	49
22 ภาพถ่ายพื้นผิวของฟิล์มที่ pH 9 ให้ความร้อนที่อุณหภูมิ 70 องศาเซลเซียส โดยใช้ กล้องจุลทรรศน์อิเล็กทรอนแบบส่องกราด (กำลังขยาย 3500 เท่า).....	50
23 ภาพตัดขวางของฟิล์มที่ pH 9 ให้ความร้อนที่อุณหภูมิ 70 องศาเซลเซียส โดยใช้ กล้องจุลทรรศน์อิเล็กทรอนแบบส่องกราด (กำลังขยาย 3500 เท่า).....	51
24 แบบแผนการแยกโปรตีนละลายน้ำได้จากปลาทรายแดงที่ pH 9 ให้ความร้อน 70 องศาเซลเซียส... 52	
25 ความสัมพันธ์ระหว่างปริมาณกลีเซอรอลกับค่าการต้านทานแรงดึงขาดของแผ่นฟิล์ม... 54	
26 ความสัมพันธ์ระหว่างปริมาณกลีเซอรอลกับค่าร้อยละการยึดตัวถึงจุดขาดของ แผ่นฟิล์ม.....	55
27 ความสัมพันธ์ระหว่างปริมาณกลีเซอรอลกับค่าการซึมผ่านของไอน้ำของแผ่นฟิล์ม..... 56	
28 ความสัมพันธ์ระหว่างปริมาณกลีเซอรอลกับค่าการละลายทั้งหมดของแผ่นฟิล์ม..... 57	
29 ความสัมพันธ์ระหว่างปริมาณซอร์บิทอลกับค่าการต้านทานแรงดึงขาดของแผ่นฟิล์ม.... 58	
30 ความสัมพันธ์ระหว่างปริมาณซอร์บิทอลกับค่าร้อยละการยึดตัวถึงจุดขาดของ แผ่นฟิล์ม.....	59
31 ความสัมพันธ์ระหว่างปริมาณซอร์บิทอลกับค่าการซึมผ่านของไอน้ำของแผ่นฟิล์ม..... 60	
32 ความสัมพันธ์ระหว่างปริมาณซอร์บิทอลกับค่าการละลายทั้งหมดของแผ่นฟิล์ม..... 61	
33 ความสัมพันธ์ระหว่างปริมาณโพลิเอทธิลีน ไกลคอล กับค่าการต้านทานแรงดึงขาด ของแผ่นฟิล์ม.....	62
34 ความสัมพันธ์ระหว่างปริมาณโพลิเอทธิลีน ไกลคอล กับค่าร้อยละการยึดตัวถึงจุดขาด ของแผ่นฟิล์ม.....	63
35 ความสัมพันธ์ระหว่างปริมาณโพลิเอทธิลีน ไกลคอล กับค่าการซึมผ่านของไอน้ำ ของแผ่นฟิล์ม.....	64

## สารบัญรูป (ต่อ)

รูปที่	หน้า
36 ความสัมพันธ์ระหว่างปริมาณโพลีเอทธิลีน ไกลคอล กับค่าการละลายทั้งหมดของแผ่นพื้นผิวของฟิล์ม..... 37 ภาพถ่ายพื้นผิวของฟิล์มที่ใช้กลีเซอรอล 50% โดยน้ำหนักของโปรตีนเป็นพลาสติไซเซอร์ โดยใช้กล้องจุลทรรศน์อิเล็กตรอนแบบส่องกราด (กำลังขยาย 3500 เท่า)..... 38 ภาพตัดขวางของฟิล์มที่ใช้ กลีเซอรอล 50% โดยน้ำหนักของโปรตีนเป็นพลาสติไซเซอร์ โดยใช้กล้องจุลทรรศน์อิเล็กตรอนแบบส่องกราด (กำลังขยาย 3500 เท่า)..... 39 ภาพถ่ายพื้นผิวของฟิล์มที่ใช้ชอร์บิทอล 50% โดยน้ำหนักของโปรตีนเป็นพลาสติไซเซอร์ โดยใช้กล้องจุลทรรศน์อิเล็กตรอนแบบส่องกราด (กำลังขยาย 3500 เท่า)..... 40 ภาพตัดขวางของฟิล์มที่ใช้ชอร์บิทอล 50% โดยน้ำหนักของโปรตีนเป็นพลาสติไซเซอร์ โดยใช้กล้องจุลทรรศน์อิเล็กตรอนแบบส่องกราด (กำลังขยาย 3500 เท่า)..... 41 ภาพถ่ายพื้นผิวของฟิล์มที่ใช้โพลีเอทธิลีน ไกลคอล 50% โดยน้ำหนักของโปรตีนเป็นพลาสติไซเซอร์โดยใช้กล้องจุลทรรศน์อิเล็กตรอนแบบส่องกราด (กำลังขยาย 3500 เท่า)..... 42 ภาพตัดขวางของฟิล์มที่ใช้ โพลีเอทธิลีน ไกลคอล 50% โดยน้ำหนักของโปรตีนเป็นพลาสติไซเซอร์โดยใช้กล้องจุลทรรศน์อิเล็กตรอนแบบส่องกราด (กำลังขยาย 3500 เท่า)..... 43 ความสัมพันธ์ระหว่างระยะเวลาการเก็บกับค่าการต้านทานแรงดึงขาดของฟิล์มที่ผลิตโดยใช้ชอร์บิทอล 40% เป็นพลาสติไซเซอร์..... 44 ความสัมพันธ์ระหว่างระยะเวลาการเก็บกับค่าร้อยละการยึดตัวถึงจุดขาดของฟิล์มที่ผลิตโดยใช้ชอร์บิทอล 40% เป็นพลาสติไซเซอร์..... 45 ความสัมพันธ์ระหว่างระยะเวลาการเก็บกับค่าการซึมผ่านของไอน้ำของฟิล์มที่ผลิตโดยใช้ชอร์บิทอล 40% เป็นพลาสติไซเซอร์..... 	65 67 67 68 68 69 69 72 73 74

## สารบัญรูป (ต่อ)

อุปที่

หน้า

46	ความสัมพันธ์ระหว่างระยะเวลาการเก็บกับค่าการละลายทั้งหมดของฟิล์มที่ผลิตโดยใช้ชอร์บิಥอล 40% เป็นพลาสติไซเซอร์.....	75
47	ความสัมพันธ์ระหว่างระยะเวลาการเก็บกับค่าการด้านงานแรงดึงขาดของแผ่นฟิล์มที่ผลิตโดยใช้กลีเซอรอล 60% เป็นพลาสติไซเซอร์.....	76
48	ความสัมพันธ์ระหว่างระยะเวลาการเก็บกับค่าร้อยละการยึดตัวถึงจุดขาดของแผ่นฟิล์มที่ผลิตโดยใช้กลีเซอรอล 60% เป็นพลาสติไซเซอร์.....	77
49	ความสัมพันธ์ระหว่างระยะเวลาการเก็บกับค่าการซึมผ่านของไอน้ำของฟิล์มที่ผลิตโดยใช้กลีเซอรอล 60% เป็นพลาสติไซเซอร์.....	78
50	ความสัมพันธ์ระหว่างระยะเวลาการเก็บกับค่าการละลายทั้งหมดของฟิล์มที่ผลิตโดยใช้กลีเซอรอล 60% เป็นพลาสติไซเซอร์.....	79
51	ปลาทรายแดงสายพันธุ์ <i>Nemipterus hexodon</i> .....	149
52	แม่พิมพ์ชิลิโคนสำหรับขึ้นรูปแผ่นฟิล์ม.....	149
53	ตู้ทำแห้งฟิล์ม (ประกอบเอง).....	150
54	แผ่นฟิล์มบริโภคได้จากโปรตีนละลายน้ำจากปลาทรายแดง.....	150
55	อุปกรณ์เครื่องหั่นการซึมผ่านของไอน้ำของแผ่นฟิล์ม.....	151